

Tabuľka 1

$H_e$ v Oe	$B_0$ v G	$B/B_0$					
		0,0 $l^*$	0,2 $l$	0,4 $l$	0,6 $l$	0,8 $l$	0,95 $l$
117,6	14 475	1,00	0,97	0,90	0,75	0,52	0,24
88,2	13 430	1,00	0,97	0,88	0,71	0,49	0,21
58,8	9 847	1,00	0,96	0,87	0,70	0,47	0,21
29,4	5 029	1,00	0,97	0,88	0,72	0,49	0,21
9,8	1 906	1,00	0,98	0,89	0,71	0,47	0,20
0,0	353,3	1,00	0,96	0,86	0,70	0,44	0,17
-	0,98	1,00	0,94	0,84	0,67	0,43	0,17
-	1,47	119,9	1,00	0,96	0,84	0,63	0,41
-	1,77	76,0	1,00	0,95	0,80	0,60	0,35
-	1,96	46,4	1,00	0,88	0,72	0,53	0,29
-	2,06	21,4	1,00	0,90	0,73	0,48	0,14
-	2,16	7,5	1,00	0,92	0,67	0,22	-0,01
-	2,27	—	10,0	-1,00	-1,12	-1,32	-0,21
-	2,94	—	118,2	-1,00	-0,96	-0,73	-0,61
-	4,90	—	423,7	-1,00	-0,96	-0,72	-0,50
-	9,80	—	1 215	-1,00	-0,99	-0,73	-0,19
-	29,4	—	4 353	-1,00	-0,97	-0,87	-0,48
-	59,0	—	8 833	-1,00	-0,97	-0,88	-0,71
-	88,2	—	12 546	-1,00	-0,97	-0,89	-0,49
-	117,6	—	14 486	-1,00	-0,98	-0,90	-0,75
							-0,52
							-0,25

\* Dĺžka tyče = 2  $l$ .

## Metóda merania

Pri vyšetrovaní magnetických vlastností feromagnetických materiálov sa často stretávame s magnetickými meraniami na tyčových vzorkách. Po zmag- netovaní tyčovej vzorky v homogénom spojito sa zväčšujúcom magnetickom poli so smerom spadajúcim do smeru dĺžky tyče sa pri premagnetúvaní vzorky pozdĺž klesajúcej vetvy hysteréznej slučky obvykle predpokladá, že pri určitej zapornej hodnote vonkajšieho magnetického pola, ktorá sa stotožňuje s koer- cívou silou, vzorka sa vyznačuje nulovou hodnotou magnetizácie pozdĺž celej svojej dĺžky. Autori [1] v súvislosti s osvetľovaním zvláštneho charakteru hysterezie stredového (balistickej) demagnetizačného faktora poukazali na neoprávnenosť uvedeného predpokladu. Účelom tejto práce je podrobne osvetliť charakter procesu premagnetúvania tyčových vzoriek experimentálnym vyšetroním rozloženia magnetickej indukcie, magnetizácie a intenzity magnetického pola pozdĺž tyče v jednotlivých stavoch, odpovedajúcich rôz- ným miestam klesajúcej vetvy hysteréznej slučky.

S procesom premagnetúvania tyčových vzoriek do značnej miery súvisí zjav hysterezie demagnetizačného faktora. Hystereziu stredového demagnetizačného faktora objavili a jej priebeh opísali najprv Janus, Drožžina a Šabalina [2], neskôr Lustrova a Lipatova [3], ako aj Matěna [4]. Účelom tejto práce okrem uvedeného je vyšetriť priebeh hysterezie nielen stredového demagnetizačného faktora, ale aj demagnetizačných faktorov pri- súčasne jednotlivým miestam pozdĺž tyče, najmä na konci tyče.

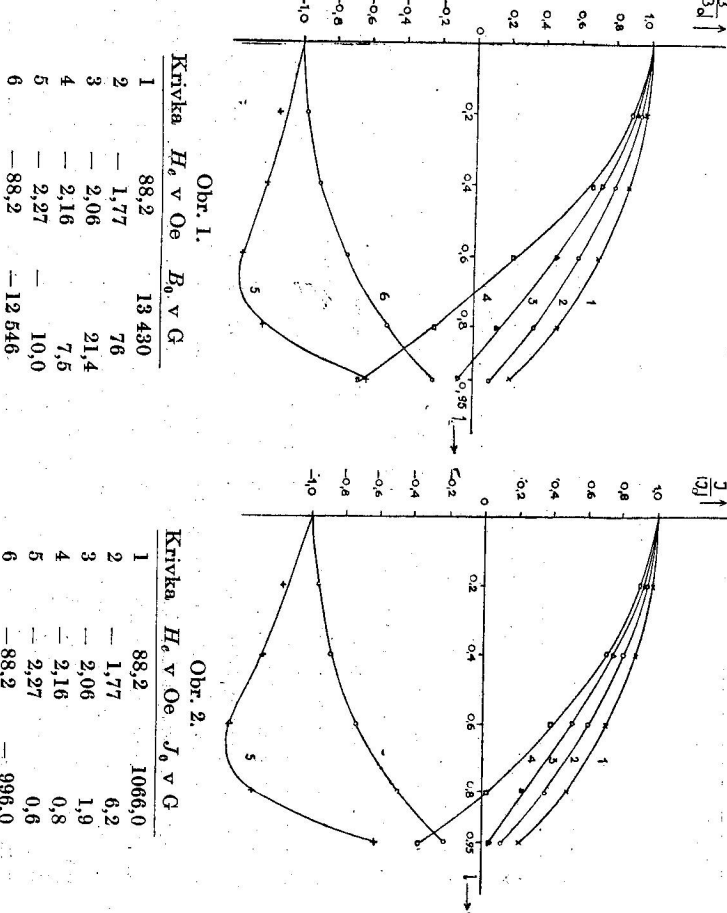
Merania sa robili na oceľovej valcovej tyči o koercitívnej sile  $H_c = 2,40$  Oe, o dĺžke 20 cm a priemere 1 cm balistickou metódou, a to strhávaním úzkej cievky z jednotlivých miest pozdĺž tyče pri rôznych magnetických stavoch tyče, odpovedajúcich príslušným bodom klesajúcej vetvy hysteréznej slučky. Takýmto spôsobom sa získalo rozloženie magnetickej indukcie pozdĺž tyče v jednotlivých vyšetrovaných stavoch. Aby bolo možno z namenaných hodnôt indukcie nájsť rozloženie magnetizácie a intenzity magnetického pola pozdĺž tyče v jednotlivých vyšetrovaných stavoch, použili sme na určenie pravej hystereznej slučky materiálu tyče rotačný elipsoid z tohož materiálu, pričom podiel veľkej polosi k malej polosi elipsoidu bol  $p = a/b = 20$ . Hodnota demagnetizačného faktora, prishľahajúca tomuto elipsoidu je  $N = 0,0848$ .

Z tab. 1 vyjadrujúcej rozloženie magnetickej indukcie pozdĺž tyče plynie, že toto rozloženie je nehomogéne. Odpovedá teda maximálnej hodnote vonkajšieho magnetického pola  $H_e$  v jednotlivých miestach pozdĺž tyče rôzna hodnota magnetickej indukcie, a to smerom ku koncu tyče vždy menšia. Z toho je zrejmé, že premagnetúvanie v jednotlivých miestach tyče prebieha po hystereznych slučkach s rôznou hodnotou maximálnej indukcie, odpove- réznej vrcholu slučky. Určili sme preto meraniami na eliptoide pravé hyste-

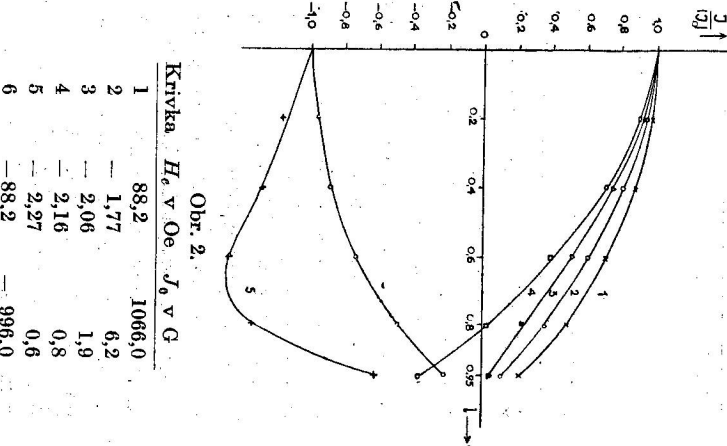
vrcholu slučky a interpoláciou sme určili pravé hysterezézne slučky, po ktorých prebiehal proces premagnetizovania v nami vyšetrovaných miestach pozdĺž tyče. Pomocou týchto slučiek bolo možno z rozloženia magnetickej indukcie v jednotlivých stavoch ľahko určiť týmto stavom odpovedajúce rozloženia intenzít magnetického poľa a magnetizácie pozdĺž tyče. Zo vzťahu  $H = H_e - NJ$  bolo možno určiť aj hodnoty demagnetizačných faktorov v jednotlivých miestach tyče.

### Výsledky meraní a ich hodnotenie

Uvedenou metódou získané rozloženie magnetickej indukcie pozdĺž tyče, odpovedajúce jednotlivým magnetickým stavom tyče pri postupe po klesajúcej vlnke hysterezéznej slučky, sú uvedené v tab. 1 a sčasti znázornené na obr. 1. Na tomto obrazze je graficky vyjadrená závislosť  $B \parallel B_0$  od vzdialnosti od stredu tyče, príčom  $B_0$  znamená vo vyšetrovanom magnetickom stave tyče hodnotu indukcie v strede tyče a  $B$  hodnotu indukcie v príslušnej vzdialnosti od stredu tyče. Z meraní vyplýva, že rozloženie magnetickej indukcie pozdĺž tyče je vo všetkých vyšetrovaných stavoch nehomogéne a že pri



Obr. 1.



Obr. 2.

určitej hodnote záporného vonkajšieho poľa prechádza magnetická indukcia nulou do záporných hodnôt najprv na koncoch tyče a až pri ďalšom zvyšovaní hodnoty záporného poľa prechádza magnetická indukcia nulou do záporných hodnôt postupne v ostatných miestach smerom ku stredu tyče, ako to autori už prv zistili na tyči z iného magnetického materiálu [1].

V tab. 2 je vyjadrené a na obr. 2 sčasti znázornené rozloženie magnetizácie pozdĺž tyče, a to v magnetických stavoch, ktorým odpovedajú rozloženia magnetickej indukcie uvedené v tab. 1. Aj na obr. 2 je znázornená závislosť  $J \parallel J_0$ , kde  $J$  a  $J_0$  majú podobný význam ako  $B$  a  $B_0$  na obr. 1. Z tab. 2 a z kriev na obr. 2 je zrejmé, že rozloženie magnetizácie pozdĺž tyče má v jednotlivých vyšetrovaných stavoch podobný charakter ako rozloženie magnetickej indukcie.

Rozloženie intenzity magnetického poľa  $H$  pozdĺž tyče v jednotlivých magnetických stavoch je vyjadrené v tab. 3 a sčasti znázornené na obr. 3. Charakter rozloženia intenzity magnetického poľa pozdĺž tyče, ako vidieť, je do istej miery podobný charakteru rozloženia indukcie a magnetizácie. Aj intenzita magnetického poľa prechádza nulou do záporných hodnôt v jednotlivých miestach tyče postupne počinajúc koncomi tyče pri rôznych hodnotách klesajúceho vonkajšieho magnetického poľa. No kým prechod indukcie a magnetizácie nulou do záporných hodnôt v jednotlivých miestach tyče prebieha pri záporných hodnotach vonkajšieho poľa, prechod intenzity magnetického poľa nulou do záporných hodnôt v príslušných miestach tyče prebieha už pri kladných hodnotach vonkajšieho magnetického poľa.

Zo všetkých troch tabuľiek a obrázkov viďte, že v oblasti prechodu príslušnej vlnky (indukcie, magnetizácie, poľa) z kladných hodnot do záporných je relatívne rozloženie príslušnej vlnky pozdĺž tyče značne odlišné od relatívneho rozloženia tejto vlnky v magnetických stavoch tyče vzdialenosť od uvedenej oblasti prechodu, t. j. v stavoch, ktorým odpovedajú väčšie hodnoty príslušnej vlnky v jednotlivých miestach tyče.

Tabuľka 2

$H_e$ v Oe	$J_0$ v G	$J/J_0$						
		0,0 $l^*$	0,2 $l$	0,4 $l$	0,6 $l$	0,8 $l$	0,95 $l$	
117,6	1146,2	1,00	0,97	0,90	0,75	0,52	0,24	
88,2	1065,9	1,00	0,97	0,88	0,71	0,49	0,21	
58,8	782,9	1,00	0,96	0,87	0,70	0,47	0,21	
29,4	399,9	1,00	0,97	0,88	0,72	0,49	0,21	
9,8	151,7	1,00	0,98	0,88	0,71	0,45	0,20	
0,0	28,2	1,00	0,96	0,86	0,69	0,44	0,17	
-0,98	15,9	1,00	0,94	0,84	0,67	0,43	0,17	
-1,47	9,72	1,00	0,96	0,84	0,64	0,41	0,17	
-1,77	6,24	1,00	0,95	0,81	0,61	0,36	0,11	
-1,96	3,88	1,00	0,88	0,73	0,55	0,31	0,08	
-2,06	1,89	1,00	-0,91	0,75	0,52	0,20	0,05	
-2,16	0,78	1,00	0,94	0,71	0,40	0,03	-0,36	
-2,27	0,60	-1,00	-1,17	-1,27	-1,47	-1,35	-0,62	
-2,94	9,20	-1,00	-0,96	-0,88	-0,73	-0,49	-0,18	
-4,90	33,5	-1,00	-0,96	-0,87	-0,71	-0,48	-0,19	
-9,80	96,4	-1,00	-0,99	-0,90	-0,73	-0,50	-0,22	
-29,4	345,7	-1,00	-0,97	-0,87	-0,71	-0,48	-0,21	
-59,0	701,6	-1,00	-0,97	-0,88	-0,71	-0,49	-0,22	
-88,2	995,9	-1,00	-0,97	-0,89	-0,72	-0,49	-0,22	

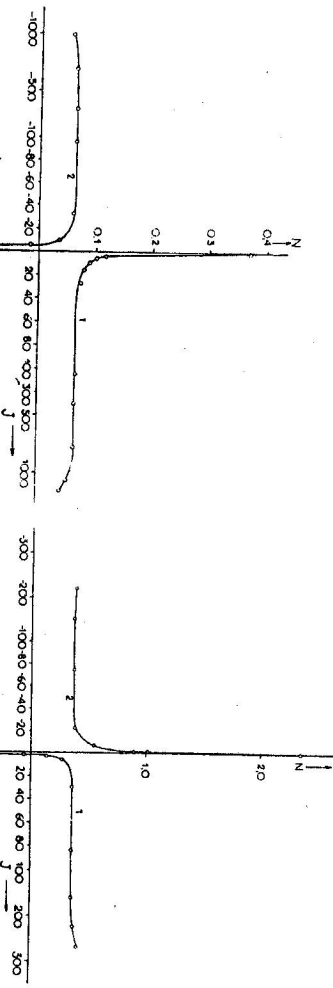
\* Dĺžka tyče = 2 l.

Tabuľka 3

$H_e$ v Oe	$H_0$ v Oe	$H/H_0$					
		0,0 $l^*$	0,2 $l$	0,4 $l$	0,6 $l$	0,8 $l$	0,95 $l$
117,6	71,4	1,00	0,83	0,53	0,28	0,16	0,08
88,2	33,6	1,00	0,71	0,43	0,35	0,21	0,10
58,8	8,90	1,00	0,95	0,84	0,65	0,41	0,17
29,4	3,35	1,00	0,98	0,82	0,61	0,28	-0,02
9,8	-0,15	-1,00	-1,20	-2,53	-4,73	-6,27	-6,00
0,0	-1,95	-1,00	-1,02	-1,04	-1,03	-0,90	-0,67
-0,98	-2,17	-1,00	-1,01	-1,01	-0,99	-0,84	-0,62
-1,47	-2,27	-1,00	-1,00	-1,00	-0,97	-0,82	-0,60
-1,77	-2,32	-1,00	-1,00	-1,00	-0,97	-0,82	-0,60
-1,96	-2,36	-1,00	-1,00	-0,99	-0,96	-0,80	-0,59
-2,06	-2,39	-1,00	-1,00	-0,99	-0,96	-0,80	-0,58
-2,16	-2,41	-1,00	-1,00	-0,99	-0,95	-0,80	-0,58
-2,27	-2,43	-1,00	-1,00	-0,99	-0,95	-0,79	-0,58
-2,94	-2,56	-1,00	-0,99	-0,98	-0,94	-0,77	-0,56
-4,90	-2,93	-1,00	-0,99	-0,96	-0,91	-0,73	-0,51
-9,80	-3,89	-1,00	-0,95	-0,86	-0,67	-0,45	-0,45
-29,4	-8,4	-1,00	-0,95	-0,86	-0,70	-0,49	-0,29
-59,0	-16,2	-1,00	-0,95	-0,82	-0,62	-0,41	-0,22
-88,2	-31,1	-1,00	-0,91	-0,71	-0,48	-0,31	-0,15

\* Dĺžka tyče = 2 l.

Obr. 4



Obr. 4.

Obr. 5.

nie príliš vzdialenosť od konca tyče práve opačný ako charakter hysterezie stredového demagnetizačného faktora. Na obr. 5 je znázornená závislosť  $N = N(J)$  pre miesto vo vzdialosti  $0,95 l$  od stredu tyče, kde  $l$  značí polovičnú dĺžku tyče, a to pri postupe po klesajúcej vetve hystereznej slučky. Vidieť, že pri poklese  $J$  z kladných hodnôt k nule hodnota demagnetizačného faktora v uvedenom mieste postupne postupne klesá a pri  $J \rightarrow 0$  je  $N \rightarrow -\infty$  (vetva 1). Pri prechode magnetizácie nulu doznava hodnota demagnetizačného faktora v tomto mieste skok z  $-\infty$  na  $+\infty$  a pri raste záporných hodnôt magnetizácie nadobúda demagnetizačný faktor postupne pôvodnú hodnotu, z ktorej sa pri počiatocnej kladnej hodnote magnetizácie vychádzalo (vetva 2).

<sup>1</sup> Kvôli prehľadnosti sa na obr. 4 a 5 použila na osi  $J$  iná mierka pre magnetizácie do 100 abs. j. ako pre väčšie hodnoty magnetizácie.

Na obr. 4 je znázornená závislosť  $N = N(J)$  v stredе tyče pri postupe po klesajúcej vetve hystereznej slučky.<sup>1</sup> Z obrazu je zrejmý charakter hysterezie stredového demagnetizačného faktora, ktorý je typický tým, že pri  $J = 0$  je  $N = \pm \infty$ , t. j. pri prechode magnetizácie nulu doznava hodnota stredového demagnetizačného faktora skok z  $+\infty$  do  $-\infty$ . Ako výpočty ukázali, podobným prebiehom hysterezie vyznačujú sa aj demagnetizačné faktory v miestach mimo stredu, od stredu však nie príliš vzdialenosť. Naproti tomu je charakter hysterezie demagnetizačného faktora na konci tyče a v miestach

## Záver

Vyšetrenie rozloženia magnetickej indukcie, magnetizácie a intenzity magnetického pola pozdĺž tyče v jednotlivých magnetických stavoch, odpovedajúcich rôznym bodom klesajúcej vetvy hystereznej súčky, umožňuje užatvárať, že sa proces premagnetizovania tyčových vzoriek v homogénom postupe klesajúcim a do záporných hodnôt prechádzajúcim vonkajšom magnetickom poli makroskopicky prejavuje takto: Pri určitej hodnote postupne rastúceho záporného pola objavujú sa na koncoch tyče makroskopické oblasti, ktoré sa vyznačujú opačným smerom magnetizácie ako zvyšujúca strednú časť tyče. Tieto makroskopické oblasti s opačnou magnetizáciou pri zvyšovaní hodnoty záporného vonkajšieho pola postupne narastajú na úkor oblasti s magnetizáciou pôvodného smere v strede tyče, až pri určitej hodnote záporného vonkajšieho pola oblasť s magnetizáciou pôvodného smere v strede tyče celkom vymizne a tyč pozdĺž celej svojej dĺžky sa vyznačuje magnetizáciou rovnakého smeru, opačného voči smeru pôvodnému.

V tomto osobitom charaktere procesu premagnetizovania tyčových vzoriek zaistie spočíva aj podstata existencie a zvláštneho charakteru hysterezie demagnetizačného faktora. Ukázalo sa, že charakter hysterezie demagnetizačného faktora v jednotlivých miestach tyče nie je rovnaký. V strede tyče a v miestach od stredu nie príliš vzdialených pri poklese magnetizácie na nulu rastie demagnetizačný faktor do nekonečna a po prechode magnetizácie nulou doznava skok  $z + \infty$  na  $-\infty$ . Naproti tomu na konci tyče a v miestach od konca tyče nie príliš vzdialených demagnetizačný faktor pri poklese magnetizácie na nulu klesá a ide  $k - \infty$ , po prechode magnetizácie nulou do záporných hodnôt doznava skok  $z - \infty$  na  $+\infty$ . Osobitnú pozornosť si bude vyžadovať vyšetrenie vlastnosti demagnetizačného faktora v miestach tyče, kde dochádza k zmene charakteru hysterezie demagnetizačného faktora z typu znázorneného na obr. 4 na typ znázornený na obr. 5.<sup>2</sup>

## LITERATÚRA

1. Hajko Vl., Daniel-Szabó J., Čas. fys. 6, 1956, 352, 2. Janus R. J., Drožžina V. J., Šabalina E. F., Sborník posviacenný semidesiatiletju akademika A. I. Ioffe, Moskva 1950, 411. 3. Lustrova A. P., Lipatova V. A., ZTF, 1954, 1513.
4. Matčna Vl., Čas. fys. 5, 1955, 401.

Dodao 10. 9. 1956.

## ИССЛЕДОВАНИЕ ПРОЦЕССА ПЕРЕМАГНИЧИВАНИЯ СТЕРЖНЕВЫХ ОБРАЗЦОВ

ВЛАДИМИР ГАЙКО, ЮРИЙ ДАНIEL-САБО

### Выводы

В работе освещается характер процесса перемагничивания стержневых образцов экспериментальным исследованием разложения магнитной индукции, намагниченности и напряженности магнитного поля по длине стержня в магнитных состояниях, отвечающих отдельным местам по длине находящейся ветви петли гистерезиса. Из результатов измерений, выраженных на таблицах 1, 2, 3, и частично изображенных на рис. 1, 2, 3, можно заключить, что процесс перемагничивания стержневых образцов в одностороннем, постепенно убывающем и до отрицательных величин внешним магнитным поле, макроскопически проявляется следующим образом: при определенной внешней величине, постепенно нарастающего ортогонального поля, появляются на концах стержня макроскопические области, проявляющиеся в обратном направлении намагниченности, чем остающаяся средняя часть стержня. Эти макроскопические области, с обратной намагниченностью, постепенно при повышении величины отрицательного внешнего поля увеличиваются за счет области с намагниченностью начального направления в середине стержня и при определенной величине ортогонального внешнего поля, областя с намагниченностью начального направления в середине стержня, вполне исчезает, а стержень по всей длине проявляется намагниченностью того же направления, противоположного к первоначальному направлению.

С процессом перемагничивания стержневых образцов, до известной степени связано явление гистерезиса размагничивающего фактора. В работе указывается, что ход гистерезиса размагничивающего фактора, в местах близких к концу стержня (рис. 5), имеет обратный характер чем ход гистерезиса размагничивающего фактора в середине стержня (рис. 4).

## ÜBER DEN UMMAGNETISIERUNGSPROZESS DER FERROMAGNETISCHEN STÄBE

VLADIMÍR HAJKO, JURAJ DANIEL-SZABÓ

### Zusammenfassung

In der vorliegenden Arbeit wird der Charakter des Ummagnetisierungsprozesses der ferromagnetischen Stäbe durch experimentale Untersuchung der Zerlegung der magnetischen Induktion, Magnetisierung und Intensität des magnetischen Feldes längs des Stabes in den magnetischen Zuständen, die den einzelnen Stellen längs dem absteigenden Ast der Hystereseschleife zugehören, erläutert. Nach den Ergebnissen der Messungen, die in Tab. 1, 2, 3 angezeichnet und teils auch im Bild 1, 2, 3 dargestellt sind, kann man schließen, daß der Ummagnetisierungsprozeß der ferromagnetischen Stäbe, im homogenen äußeren magnetischen Felde, das nach und nach sinkt und in die negativen Werte übergeht, sich makroskopisch folgendermaßen vollzieht:  
Bei dem bestimmten Werte des nach und nach wachsenden negativen Feldes entstehen an den Enden des Stabes makroskopische Bereiche, in denen die Magnetisierung die

<sup>2</sup> Záverom dăkujueme dr. L. Valentovi za plodnú diskusiu k uvedenej problematike, dr. J. Brožovi a dr. J. Sternberkovi za zapísanie valcovej a elipsoidálnej vzorky, na ktorých sa robili merania, a A. Wintherovi za pomoc pri meranach.

entgegengesetzte Richtung hat, als in dem übriggebliebenen mittleren Teile des Stabes. Diese makroskopischen Bereiche mit der entgegengesetzten Magnetisierung bei dem wachsenden äußeren negativen Felde vergrößern sich allmählich zum Nachteil des Bereiches im mittleren Teile des Stabes, in dem die Magnetisierung die ursprüngliche Richtung hat, bis bei einem bestimmten Wert des negativen äußeren Feldes der Bereich mit der Magnetisierung der ursprünglichen Richtung in dem mittleren Teile des Stabes völlig verschwindet und die Richtung der Magnetisierung längs des ganzen Stabes dieselbe Richtung, entgegengesetzt zur ursprünglichen hat.

Mit dem Prozeß der Ummagnetisierung der ferromagnetischen Stäbe hängt in gewissem Maße die Erscheinung der Hysteresis des Entmagnetisierungsfaktors zusammen. In der vorliegenden Arbeit wird gezeigt, daß der Verlauf der Hysteresis des Entmagnetisierungsfaktors an den Stellen nahe dem Stabende eben den entgegengesetzten Charakter hat (Bild 5), als der Verlauf der Hysteresis des Entmagnetisierungsfaktors in der Mitte des Stabes (Bild 4).